# 内放射状中空TiN颗粒作为锂硫电池正极的性能

宁大泽 孙洪广\* (青岛科技大学高分子科学与工程学院,青岛 266044)

摘要:通过硬模板法设计、制备了一种具有径向内排列骨架的内放射状中空 TiN 纳米颗粒 (IRHTiNs),并将其与硫 (S) 复合制备 锂硫电池 (LSB) 正极。随后采用扫描电子显微镜 (SEM)、透射电子显微镜 (TEM)、X 射线光电子能谱 (XPS) 和热重分析 (TGA) 表征了 IRHTiNs 及 IRHTiNs (XPS) 有限的结构及成分。在电化学测试中,与 (XPS) 正极相比,以 (XPS) 以 (XPS) 以 (XPS) 和热电子 (XPS) 以 (XPS) 的高初始比容量,(XPS) 以 (XPS) 以 (XPS)

关键词: 锂硫电池; 氮化钛; 纳米颗粒; 穿梭效应

中图分类号: TB321; TM911.3 文献标识码: A 文章编号: 1001-4861(2022)07-1375-07

DOI: 10.11862/CJIC.2022.143

# Performance of the Inward Radial Hollow TiN Particles as Cathodes for Lithium-Sulfur Batteries

NING Da-Ze SUN Hong-Guang\*

(School of Polymer Science and Engineering, Qingdao University of Science and Technology, Qingdao, Shandong 266044, China)

**Abstract:** The inward radially hollow structure TiN particles (IRHTiNs) was designed and synthesized by using the hard-template method and combined with sulfur (S) to prepare lithium-sulfur batteries (LSB) cathodes. Subsequently, the structure and composition of IRHTiNs and IRHTiNs/S composite cathodes were characterized by scanning electron microscopy (SEM), transmission electron microscopy (TEM), X-ray photoelectron spectroscopy (XPS), and thermogravimetric analysis (TGA). In the electrochemical test process, compared with the C cathodes, LSB using the IRHTiNs cathodes exhibited a high original specific capacity of 1 256 mAh·g<sup>-1</sup>, the capacity fading rate was significantly reduced, and the LSB performance was significantly improved.

Keywords: lithium-sulfur battery; titanium nitride; nanoparticles; shuttle effect

随着人类对电子设备要求的逐渐提高,人们迫切需要开发一种兼具高安全性、高比容量和高充放电效率的新型电池系统[1]。锂硫电池(LSB)由于具有较高的理论比容量(1 675 mAh·g<sup>-1</sup>)和能量密度(2 600 Wh·kg<sup>-1</sup>)而引起研究人员广泛关注<sup>[2]</sup>。同时,其活性物质 S成本低廉、环境友好的特性也为其带来了高额效益,因此 LSB成为研究者们重点关注的新型高性能电池系统之一<sup>[3]</sup>。然而,在充放电过程中,活性物质 S 易与负极金属锂(Li)发生反应,生成的不溶性的多硫化物(LiPSs)无法回到正极,导致正

极的S含量逐渐减少,使得LSB容量迅速衰减,这被称为"穿梭效应",而LiPSs的这种"穿梭效应",严重影响了LSB的使用寿命[4]。此外,S、LiPSs的低导电性及S在反应过程中的体积膨胀也会对LSB的性能产生不利的影响[5],这些缺点严重制约了LSB的大规模商业化应用。而设计一种具有多孔及中空结构的S载体材料,用于限制LiPSs从正极迁移到负极,已被证明是解决这些难题的有效方法之一[6]。

将具有优异导电性的碳材料(碳纳米管<sup>[7]</sup>、石墨烯<sup>[8]</sup>等)应用于LSB中,有助于缓解活性材料导电性

差的问题。然而,非极性碳材料只能通过物理屏蔽作用限制 LiPSs 的"穿梭效应",其与极性 LiPSs 之间较弱的相互作用仍然会导致 LSB 容量在运行过程中迅速下降<sup>[9]</sup>。为了提高硫载体与 LiPSs 之间的化学结合作用,可以在正极材料中引入过渡金属氧化物可以通过与 LiPSs 发生强化学吸附作用限制 LiPSs 的"穿梭效应"。然而,大多数过渡金属氧化物的电导率低于碳材料,而较低的电导率会使电子的传输效率下降,进而削弱 LSB 的性能<sup>[12]</sup>。

过渡金属氮化物与LiPSs之间具有较强的化学吸附,同时其电导率远高于过渡金属氧化物,成为LSB的理想正极材料之一。过渡金属氮化物中的氮化钛(TiN)已被证明是一种高效的硫载体材料[13]。其具有较高的电导率(甚至优于部分碳材料)、优异的机械和化学稳定性[14],且对LiPSs的强化学吸附作用能够明显限制其"穿梭效应"[15]。这些突出的特性使TiN在硫载体材料中具有广泛的应用前景。

基于上述研究,我们首先以海胆状 SiO<sub>2</sub>颗粒 (USiO<sub>2</sub>s)作为模板,采用硬模板法,合成了内放射状中空 TiO<sub>2</sub>颗粒(IRHTiO<sub>2</sub>s)。随后,在 NH<sub>3</sub>氛围中,将 IRHTiO<sub>2</sub>s 转化为内放射状中空 TiN 颗粒(IRHTiNs)。特殊的内放射状中空结构可以提高对活性物质 S的负载,使电池拥有接近 1 250 mAh·g<sup>-1</sup>的初始比容量;同时,内腔中的放射状骨架通过增加对 LiPSs 的吸附位点,可以充分发挥 TiN 材料本身所具有的对 LiPSs 的吸附能力,从而减弱"穿梭效应"。IRHTiNs/S正极与普通的 C/S 正极相比,LSB 容量衰减速度明显降低。

# 1 实验部分

### 1.1 试 剂

试剂包括尿素(麦克林)、钛酸四丁酯(TBOT,国药)、正硅酸乙酯(TEOS,国药)、正丁醇(国药)、十六烷基溴化吡啶(CPB,国药)、环己烷(麦克林)、N-甲基吡咯烷酮(NMP,麦克林)、导电炭黑(C,上海晶纯试剂有限公司)。电解液为1.0 mol·L<sup>-1</sup>硝酸锂(LiNO<sub>3</sub>)的1,3-二氧戊环/乙二醇二甲醚(1:1,WV)溶液(购自多多化学试剂网,DoDoChem)。上述试剂均不需要进一步纯化。

### 1.2 USiO,s的合成

采用文献方法制备<sup>[16]</sup>:于2L三口圆底烧瓶中,将10gCPB和6g尿素溶解在300mL去离子水中,

再加入TEOS(25 g)、1-戊醇(15 mL)和环己烷(300 mL),在室温下搅拌生成乳液。将乳液在低速下继续搅拌60 min,然后转移到250 mL水热反应釜中,置于烘箱中迅速升温至120℃并反应6 h。冷却后,离心并用去离子水洗涤数次,得到USiO₃模板粉末。

#### 1.3 IRHTiO<sub>3</sub>s的合成

将1gUSiO<sub>2</sub>s粉末、250 mL乙醇、3 mL去离子水于500 mL圆底烧瓶中混合。随后,向体系中缓慢滴加4 mLTBOT,同时将体系升温至85℃反应2h。反应结束后,通过离心洗涤,获得USiO<sub>2</sub>s@TiO<sub>2</sub>白色粉末。

将上述 5 g USiO<sub>2</sub>s@TiO<sub>2</sub>白色粉末分散于 200 mL去离子水中,并将体系升温至 60  $^{\circ}$  。随后,向其中加入 0.1 mol·L<sup>-1</sup> NaOH,于 60  $^{\circ}$ 下反应 3 h。反应结束后,用 1 mol·L<sup>-1</sup>的盐酸溶液进行洗涤,直至 pH接近于 7,最终获得 IRHTiO<sub>2</sub>s 白色粉末。

#### 1.4 IRHTiNs的合成

将上述IRHTiO₂s置于管式炉中,随后向管式炉内通入NH₃进行加热,以2℃·min⁻¹的速率升温至800℃并反应6h,随后自然冷却至室温,期间保持NH₃流量的相对稳定(约20 mL·min⁻¹)。反应结束后,获得黑色IRHTiNs。

### 1.5 IRHTiNs/S复合材料的制备

将IRHTiNs和S按照1:3的质量比混合,研磨均匀后移入管式炉内,随后通入氩气,以1℃·min⁻的速率升温至155℃并反应12h,随后自然冷却至室温,期间保持氩气流量的相对稳定。反应结束后,获得IRHTiNs/S复合材料。C/S复合材料的比例及制备过程和上述一致。

### 1.6 IRHTiNs/S复合正极的制备及电池的组装

首先,将IRHTiNs/S粉末、导电炭黑(Super P)、聚偏二氟乙烯(配制成5%的NMP溶液)按照质量比8:1:1混合均匀以获得正极浆液。然后,将正极浆液刮涂于铝箔上并移入60℃真空烘箱中干燥过夜,制备出IRHTiNs/S正极,C/S正极的制备过程与此相同。

电池组装操作全程在氩气手套箱中进行。按照负极壳/锂片/玻璃纤维(GF/A)/正极/正极壳的组装顺序进行组装,电解液为1.0 mol·L<sup>-1</sup> LiNO<sub>3</sub>的 DOL/DME溶液。最后挤压成2032式纽扣电池,静置后进行相关电化学测试。电池的测试均在LAND系统上进行。

### 1.7 表征及测试

采用扫描电子显微镜(SEM, S-4800, 10 kV, 10

 $\mu$ A,喷金处理)和透射电镜(TEM,Hitachi S-4800,80 kV)观察样品形貌。采用 X 射线光电子能谱(XPS,Thermo ESCALAB 250Xi,Thermo Fisher Scientific)分析 IRHTiNs/S 中的元素价态。采用热重分析(TGA,Rubotherm Dyntherm - HP,Rubotherm,10  $\,^{\circ}$  · min  $^{-1}$ ,600  $\,^{\circ}$  )分析 IRHTiNs/S 的含硫量。采用LANDCT2001A 系统测试 LSB 的倍率性能和循环性能,电压范围为 1.7~2.8 V。交流阻抗阻抗谱(EIS)的测试频率为 100 mHz~7 MHz。

# 2 结果与讨论

材料制备过程中的主要产物形貌如图1所示。USiO<sub>2</sub>s模板的SEM图如图1a所示,其具有特殊的形态,表面有丰富的空隙。TEM图(图1d)进一步证实了其海胆状形貌,尖刺之间的间隙深入到SiO<sub>2</sub>的核心部分,为TiO<sub>2</sub>的包覆提供了空间。随后,通过TBOT的水解制备了USiO<sub>2</sub>s@TiO<sub>2</sub>核壳颗粒,再通过NaOH刻蚀掉USiO<sub>2</sub>s模板后,得到了IRHTiO<sub>2</sub>s,其球形结构保持良好(图1b)。IRHTiO<sub>2</sub>s的TEM图(图1e)显示了一个清晰的中空结构,内部形貌与USiO<sub>2</sub>s模板相反,表明USiO<sub>2</sub>s模板被完全蚀刻。最后,IRHTiO<sub>2</sub>s在NH<sub>3</sub>中转化为IRHTiNs。如图1c和1f所示,由于TiO<sub>2</sub>壳的优良强度,IRHTiNs保持了良好的内放射状中空球形结构,这也为S的装载提供了空间。

采用TEM和TEM-mapping对IRHTiNs载S前后的形貌及元素分布进行进一步表征。载S前IRHTiNs的TEM图如图2a(明场下)和2b(暗场下)所

示,图中可以观察到清晰的中空结构,向内排列的骨架形貌恰好与 $SiO_2$ 模板相反,证明了内放射状中空结构的成功制备。随后,IRHTiNs载S后的TEM图像如图2c(明场下)和2d(暗场下)所示,上述的内放射状中空结构被填满,只能观察到IRHTiNs的外壳,这是由于S完全负载进了内腔中。TEM-mapping(图2e)表明IRHTiNs载S后具有边界清晰的Ti、N和S信号分布,在Ti+S的重叠信号中,绿色的S信号完全被红色的Ti信号所包围,证明了S的完全负载。这种用于负载S的空间在之后的电池测试中,也能用于LiPSs的物理屏蔽。

采用TGA进一步表征IRHTiNs的载S能力(加 热到600 ℃), 如图 3a 所示, IRHTiNs/S 的质量损失主 要来自S的损失,通过计算可知,IRHTiNs的载S量 高达75%。此外,在单个IRHTiNs/S的线性扫描元 素分析图像中,S元素的相对含量在IRHTiNs壳层 处较低,而在其空腔中显示出更强烈的信号峰,进 一步证明S被成功地负载到IRHTiNs的空腔中。随 后,采用XPS对IRHTiNs/S进行了表征。在Ti2p的 XPS 谱图中(图 3c), 可以观察到 5个信号峰, 结合能 分别为 455.5 和 461.7 eV 的峰来自 Ti-N 键, 458.5 和463.2 eV处的峰来自Ti-O键,这可能是TiN被部 分氧化导致的[17],同时,结合能为456.6 eV处的峰来 自 Ti—S<sup>[18]</sup>,证实了 IRHTiNs 对 S 的负载; S2p 的 XPS 谱图中(图 3d)可以观察到典型的结合能分别为 163.5 和 164.8 eV的 S元素峰[19]。综上,通过 XPS 和 元素分析研究,进一步证明了IRHTiNs对S具有较 高的亲和力和负载能力,这种亲和力在下文中LiPSs

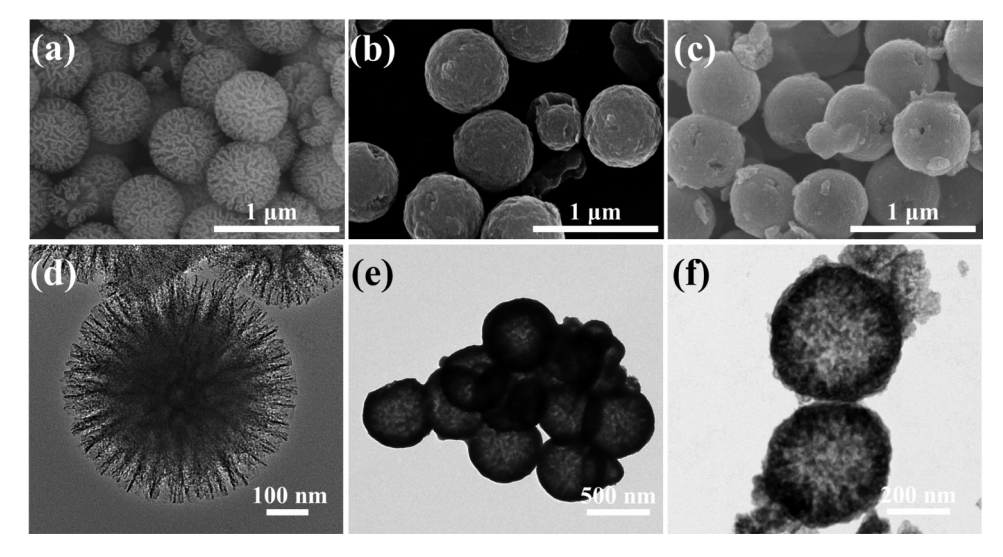


图 1 (a) USiO<sub>2</sub>s、(b) IRHTiO<sub>2</sub>s 和(c) IRHTiNs的 SEM图; (d) USiO<sub>2</sub>s、(e) IRHTiO<sub>2</sub>s和(f) IRHTiNs的 TEM图 Fig.1 SEM images of (a) USiO<sub>2</sub>s、(b) IRHTiO<sub>2</sub>s, and (c) IRHTiNs; TEM images of (d) USiO<sub>3</sub>s, (e) IRHTiO<sub>2</sub>s, and (f) IRHTiNs

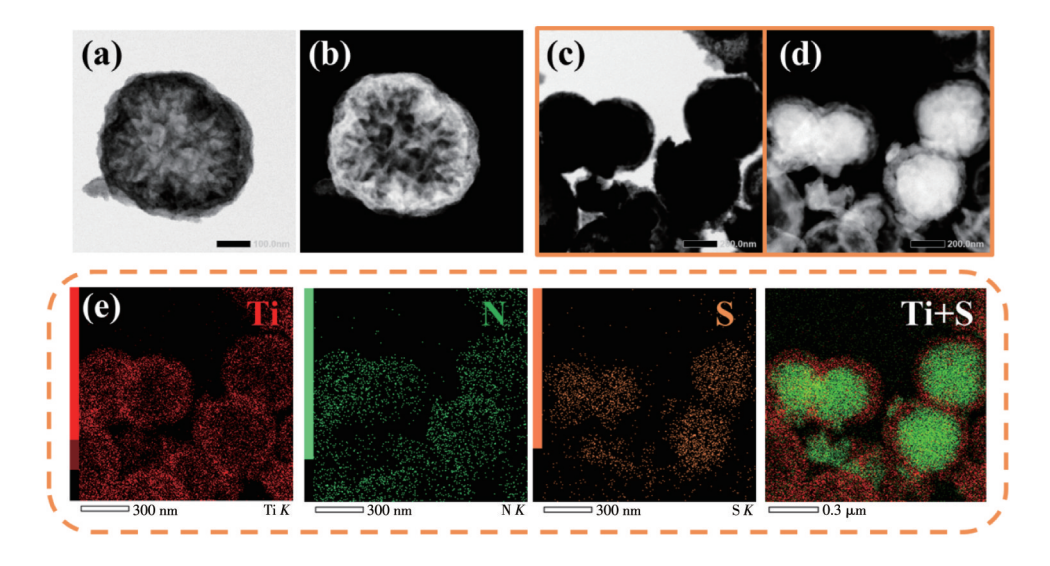


图 2 (a、b) IRHTiNs 和(c、d) IRHTiNs/S 在明场和暗场下的 TEM 图; (e) IRHTiNs/S 的 TEM-mapping 图 Fig. 2 TEM images of (a, b) IRHTiNs and (c, d) IRHTiNs/S in normal and dark field; (e) TEM-mapping images of IRHTiNs/S

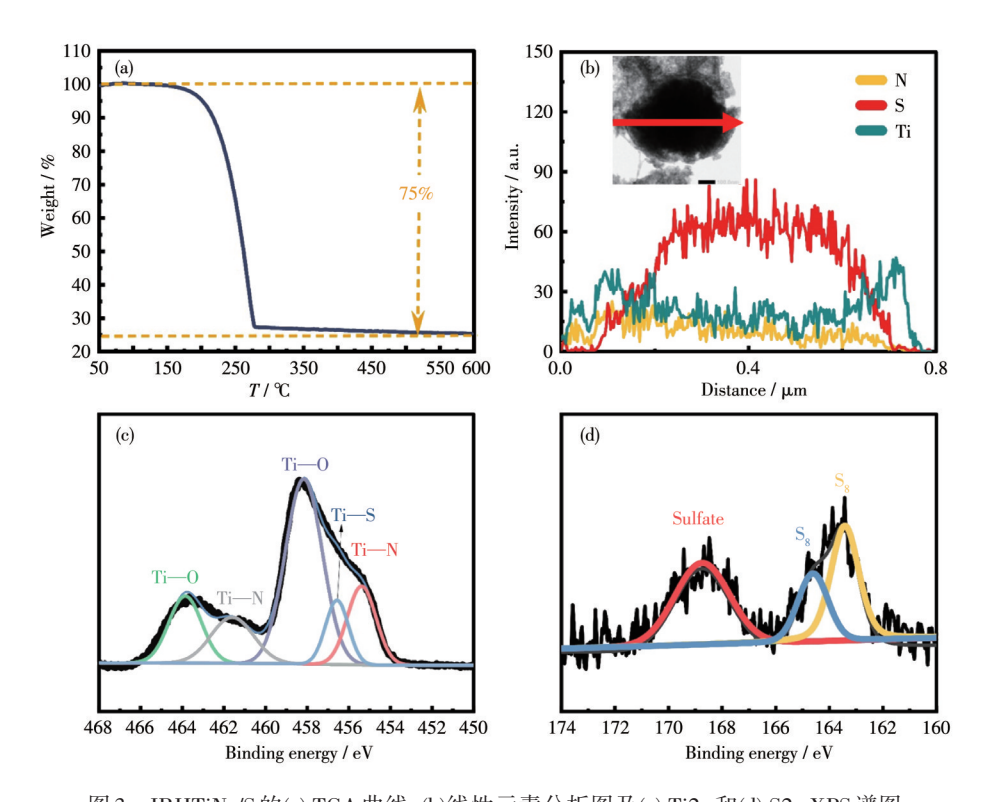


图 3 IRHTiNs/S的(a) TGA曲线、(b)线性元素分析图及(c) Ti2p和(d) S2p XPS谱图

Fig.3 (a) TGA curve, (b) liner element analysis images, and (c) Ti2p and (d) S2p XPS spectra of IRHTiNs/S

的"穿梭效应"中也有所表现。

1C(1.2 A·g<sup>-1</sup>)条件下 IRHTiNs/S 和 C/S 正极的循环曲线如图 4a 所示,虽然 C/S 正极具有更高的初始比容量,但由于 C 材料既不具有能够物理限制 LiPSs 的结构,也不具有化学吸附 LiPSs 的能力,因此其比容量衰减迅速。1C 条件下 C/S 正极对应的第5和30次的充放电曲线如图 4c 所示,第30次充放电平台相

比于第5次明显缩短,同时,充放电平台间的电压差变大,这是由于"穿梭效应"使得正极处活性物质S减少。对于IRHTiNs/S正极,由于活性物质S被限制在空腔内部,电解液进入空腔需要活化过程,最初仅IRHTiNs表面的S能够提供LSB比容量,因此前5次循环的LSB比容量略低于C/S正极。随着电解液的逐渐渗入,空腔内部的活性物质S逐步参与电化

学反应<sup>[20]</sup>,因此LSB比容量出现了一定程度的上升。同时,由于IRHTiNs对LiPSs出色的物理限制及化学吸附作用,LSB比容量并未出现明显衰减。1C下IRHTiNs/S正极对应的第5和30次的充放电曲线如图4c所示,第30次的充放电平台相对第5次明显扩展,比容量略有提升,同时充放电平台间的电压差几乎一致<sup>[21]</sup>,展示出良好的充放电循环性能。2C下IRHTiNs/S和C/S正极的循环曲线如图4b所示,高倍

率下的电化学过程显著加快,因此更能展示正极材料的特性。与图 4a 一致, C/S 正极的比容量迅速衰减,而 IRHTiNs/S 正极随着电解液的逐渐渗入,在 5~10次循环内比容量出现了一定程度的提升,并在之后的测试中未出现明显衰减,显示出了更加优异的性能。

IRHTiNs/S和C/S正极的倍率性能如图5a所示, 在初始0.1C的测试中,C/S和IRHTiNs/S正极比容量

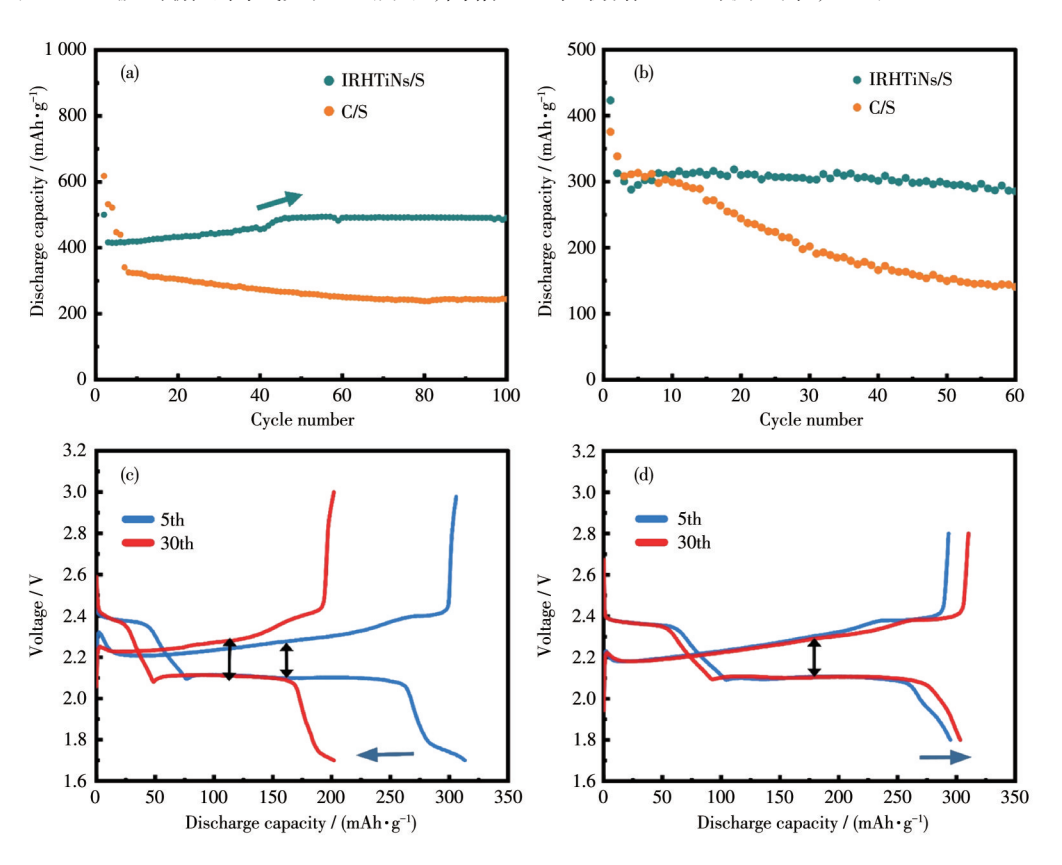


图4 (a) 1C和(b) 2C下IRHTiNs/S和C/S正极的循环性能; 1C下(c) C/S正极和(d) IRHTiNs/S正极对应的 第5和30次的充放电曲线

Fig.4 Cycle performance of IRHTiNs/S and C/S cathodes at (a) 1C and (b) 2C; Corresponding discharge-capacity curves of (c) C/S cathode and (d) IRHTiNs/S cathode of 5th and 30th cycle at 1C

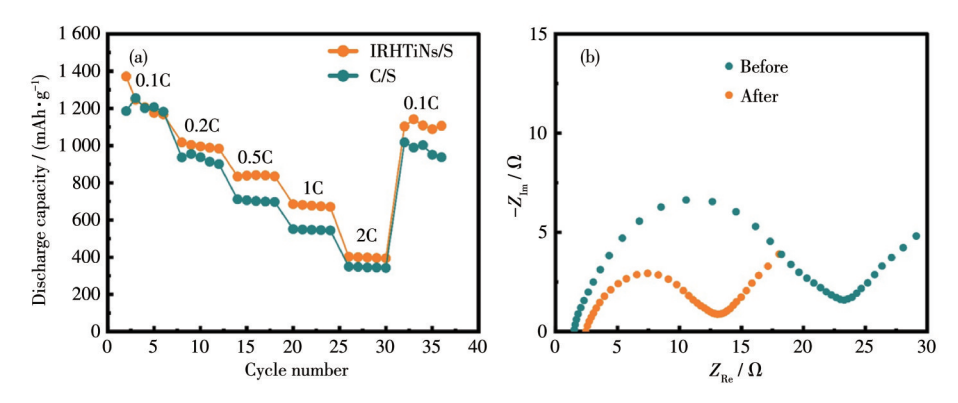


图 5 (a) IRHTiNs/S和C/S正极的倍率性能; (b) IRHTiNs/S正极在倍率测试前后的EIS谱图

Fig.5 (a) Rate performance of IRHTiNs/S and C/S cathodes; (b) EIS spectra of IRHTiNs/S cathode before and after rate test

相差不大,但随着倍率的逐渐提升(0.2C~2C),二者 充放电平台出现了明显的差距,这是由于C/S正极 不具有对LiPSs的物理限制及化学吸附能力,对 LiPSs"穿梭效应"的限制能力较弱[21]。当倍率恢复 到 0.1C 后, C/S 正极的比容量出现了明显衰减,并有 继续衰减的趋势,这是由于LiPSs"穿梭效应"造成大 量的LiPSs沉积在LSB的正负极处,降低了正负极的 导电能力,因此LSB的电化学过程减慢,比容量发生 大幅衰减。而IRHTiNs/S正极在倍率恢复到0.1C 后, 充放电平台并未出现明显衰减, 这是由于 IRHTiNs/S的特殊结构优势以及对LiPSs的化学吸 附作用极大地限制了LiPSs的"穿梭效应",大部分 LiPSs 在测试过程中,仍被保留在IRHTiNs的空腔结 构内,因此LSB仍能保持较高的综合性能。为了进 一步对电化学进程进行分析,对IRHTiNs/S正极进 行了倍率测试前后的EIS测试。如图5b所示,在倍 率测试前及测试的初始阶段,由于正极表面的离子 通道尚未被优化,电极/电解液之间的电荷转移较为 缓慢,正极处的阻抗较大,因此EIS谱图表现为较大 的半圆曲线。在测试过程中,由于IRHTiNs内放射 状的特殊结构,电解液只能被迫沿着刺状骨架逐渐 向 IRHTiNs 内部渗透。随着电化学过程的进行,这 种渗透作用使得IRHTiNs/S正极表面的离子通道被 逐渐优化,因此电子传输距离被大大缩短。同时, 由于大部分的电化学反应均在IRHTiNs内部进行, 该反应产生的导电性差的 LiPSs 被 IRHTiNs 壳的物 理作用限制在内部,而正极表面处的LiPSs也在测 试中被诱导均匀沉积,因此阻抗和测试前相比显著 降低,在EIS谱图中表现为较小的半圆曲线,这进一 步证明了IRHTiNs对电化学过程的增益作用[22]。

# 3 结 论

我们设计、制备了一种具有内放射状中空结构的TiN 纳米颗粒(IRHTiNs),并将其应用于LSB正极材料中。通过SEM、TEM 证实了内放射状中空结构的成功制备,同时通过TEM-mapping、TGA、XPS 证实了其用于负载S的合理性。在之后的循环测试中,由于特殊的内放射状中空结构对活性物质S的负载作用,电池拥有接近1256 mAh·g<sup>-1</sup>的初始比容量;同时,由于IRHTiNs 对 LiPSs 的化学吸附能力,LiPSs 的"穿梭效应"明显减弱,与C正极相比,IRHTiNs/S正极有着出色的比容量保持效果。因此,将IRHTiNs应用于LSB正极是合理的,该研究为

LSB新型正极材料的设计、开发提供了新的参考。

#### 参考文献:

- [1]Shi H D, Ren X M, Lu J M, Dong C, Liu J, Yang Q H, Chen J, Wu Z S. Dual-Functional Atomic Zinc Decorated Hollow Carbon Nanoreactors for Kinetically Accelerated Polysulfides Conversion and Dendrite Free Lithium Sulfur Batteries. *Energy Storage Mater.*, 2020, 10(39): 2002271
- [2]Wang W P, Zhang J, Chou J, Yin Y X, You Y, Xin S, Guo Y G. Solidifying Cathode Electrolyte Interface for Lithium Sulfur Batteries. Energy Storage Mater., 2021,11(2):2000791
- [3]Ding B, Wang J, Fan Z J, Chen S, Lin Q Y, Lu X J, Dou H, Nanjundan A K, Yushin G, Zhang X G, Yamauchi Y. Solid-State Lithium-Sulfur Batteries: Advances, Challenges and Perspectives. *Mater. Today*, 2020.40:114-131
- [4]Lim J, Pyun J, Char K. Recent Approaches for the Direct Use of Elemental Sulfur in the Synthesis and Processing of Advanced Materials. Angew. Chem. Int. Ed., 2015,54(11):3249-3258
- [5]Son Y, Lee J S, Son Y, Jang J H, Cho J. Recent Advances in Lithium Sulfide Cathode Materials and Their Use in Lithium Sulfur Batteries. Adv. Energy Mater., 2015,5(16):1500110
- [6]Zhou L, Danilov D L, Eichel R A, Notten P H L. Host Materials Anchoring Polysulfides in Li-S Batteries Reviewed. Adv. Energy Mater., 2020.11(15):2001304
- [7]Zheng M B, Chi Y, Hu Q, Tang H, Jiang X L, Zhang L, Zhang S T, Pang H, Xu Q. Carbon Nanotube-Based Materials for Lithium-Sulfur Batteries. J. Mater. Chem. A, 2019,7(29):17204-17241
- [8]Zeng W D, Cheng M M C, Ng K Y S. Cathode Framework of Nanostructured Titanium Nitride/Graphene for Advanced Lithium - Sulfur Batteries. ChemElectroChem, 2019,6(10):2796-2804
- [9]Li H T, Li Y G, Zhang L. Designing Principles of Advanced Sulfur Cathodes toward Practical Lithium-Sulfur Batteries. SusMat, 2022,2 (1):34-64
- [10]Cui Z Q, Yao J, Mei T, Zhou S Y, Hou B F, Li J, Li J H, Wang J Y, Qian J W, Wang X B. Strong Lithium Polysulfides Chemical Trapping of TiC-TiO<sub>2</sub>/S Composite for Long-Cycle Lithium-Sulfur Batteries. *Electrochim. Acta*, 2019,298(1):43-51
- [11] Yang J H, Yang X F, Cheong J L, Zaghib K, Trudeau M L, Ying J Y. Nanoboxes with a Porous MnO Core and Amorphous TiO<sub>2</sub> Shell as a Mediator for Lithium-Sulfur Batteries. J. Mater. Chem. A, 2021,9(8): 4952-4961
- [12]Gao B, Li X X, Ding K, Huang C, Li Q W, Chu P K, Huo K. Recent Progress in Nanostructured Transition Metal Nitrides for Advanced Electrochemical Energy Storage. J. Mater. Chem. A, 2019,7(1):14-37
- [13]Lim W G, Jo C S, Cho A, Hwang J, Kim S, Han J W, Lee J. Approaching Ultrastable High-Rate Li-S Batteries through Hierarchically Porous Titanium Nitride Synthesized by Multiscale Phase Separation. Adv. Mater., 2019,31(3):1806547
- [14]Wang Y K, Zhang R F, Pang Y C, Chen X, Lang J X, Xu J J, Xiao C

- H, Li H L, Xi K, Ding S J. Carbon@Titanium Nitride Dual Shell Nanospheres as Multi-functional Hosts for Lithium Sulfur Batteries. *Energy Storage Mater.*, **2019**,**16**:228-235
- [15]Li H X, Ma S, Li J W, Liu F Y, Zhou H H, Huang Z Y, Jiao S Q, Kuang Y. Altering the Reaction Mechanism to Eliminate the Shuttle Effect in Lithium-Sulfur Batteries. *Energy Storage Mater.*, 2020,26: 203-212
- [16]Polshettiwar V, Cha D, Zhang X, Basset J M. High-Surface-Area Silica Nanospheres (KCC-1) with a Fibrous Morphology. Angew. Chem. Int. Ed., 2010,122(50):9846-9850
- [17]Liang X, Garsuch A, Nazar L F. Sulfur Cathodes Based on Conductive MXene Nanosheets for High-Performance Lithium-Sulfur Batteries. Angew. Chem. Int. Ed., 2015,127(13):3979-3983
- [18]Zhou S Y, Hu J Y, Liu S G, Lin J X, Cheng J, Mei T, Wang X B, Liao H G, Huang L, Sun S G. Biomimetic Micro Cell Cathode for High Performance Lithium-Sulfur Batteries. *Nano Energy*, 2020,72: 104680

- [19]Wu Q P, Yao Z G, Zhou X J, Xu J, Cao F H, Li C L. Built-In Catalysis in Confined Nanoreactors for High-Loading Li-S Batteries. ACS Nano, 2020,14(3):3365-3377
- [20]Jin Z S, Lin T N, Jia H F, Liu B Q, Zhang Q, Li L, Zhang L Y, Su Z M, Wang C G. Expediting the Conversion of Li<sub>2</sub>S<sub>2</sub> to Li<sub>2</sub>S Enables High-Performance Li-S Batteries. ACS Nano, 2021,15(4):7318-7327
- [21]Cai D, Liu B K, Zhu D H, Chen D, Lu M J, Cao J M, Wang Y H, Huang W H, Shao Y, Tu H, Han W. Ultrafine Co<sub>3</sub>Se<sub>4</sub> Nanoparticles in Nitrogen - Doped 3D Carbon Matrix for High - Stable and Long-Cycle - Life Lithium Sulfur Batteries. Adv. Energy Mater., 2020, 10 (19):1904273
- [22]Yang X F, Gao X J, Sun Q, Jand S P, Yu Y, Zhao Y, Li X, Adair K, Kuo L Y, Rohrer J, Liang J N, Lin X T, Banis M N, Hu Y F, Zhang H Z, Li X F, Li R Y, Zhang H M, Kaghazchi P, Sham T K, Sun X L. Promoting the Transformation of Li<sub>2</sub>S<sub>2</sub> to Li<sub>2</sub>S: Significantly Increasing Utilization of Active Materials for High-Sulfur-Loading Li-S Batteries. Adv. Mater., 2019,31(25):1901220